

H<sup>∞</sup> 制御理論によるAMD制震に関する基礎的研究

阿南工業高等専門学校 正 員 ○ 笹田 修司  
 徳島大学工学部 正 員 平尾 潔  
 青木建設(株) 岩田 航司

1. はじめに 構造物のアクティブ振動制御において、ロバスト性を確保することは、重要な問題であり、近年、モデルの不確かさに対するロバスト安定性の確保に有効なH<sup>∞</sup>制御理論が注目されている。特に、モデルを構成する際に無視した高次の振動モードの影響によるスピルオーバーの回避に対しては、数多くの研究が行われ、有効であると報告されている。しかしながら、モデルの不確かさのうち、構造パラメータの同定誤差あるいは変動も実際的には存在し、どの程度の影響があるのか検討を行う必要があると思われる。このような観点より、本研究では、実験模型程度のモデルを対象とした数値シミュレーション解析によって、質量、減衰、剛性の構造パラメータの誤差による影響について若干の比較検討を行ったものである。

2. 解析方法 本報告では、状態フィードバックによるH<sup>∞</sup>制御とLQ制御との比較を行っており、それぞれの概略を以下に示す。なお、対象としたモデルは、図1に示す3自由度系モデルである。

(1) 状態フィードバックによるH<sup>∞</sup>制御理論<sup>1),2)</sup> H<sup>∞</sup>制御は、構造物に外乱wが作用したときの応答の観測出力値yとの周波数領域における関係を伝達関数Gを用いて、

$$Y(s) = G(s)W(s) \tag{1}$$

と考え、この伝達関数Gに対して、次式で定義されるようにH<sup>∞</sup>ノルムをある値γ未満となるようにフィードバックゲインを決定する問題である。

$$\|G(s)\|_{\infty} = \sup_{\omega} \bar{\sigma}(G(i\omega)) < \gamma \tag{2}$$

ここに、 $\bar{\sigma}(G(i\omega))$ は、 $G(i\omega)$ の最大特異値を表わす。

状態方程式から直接的に求める解法によれば、制御対象である振動系を次の拡大系の状態方程式で表わし、式(2)を満たす解の存在性からフィードバックゲインを求める。

$$\dot{x} = Ax + B_1w + B_2u, \quad z = C_1x + D_{11}w + D_{12}u, \quad y = C_2x + D_{21}w \tag{3}$$

ここに、x; 状態量、w; 外乱、u; 制御力、z; 制御量、y; 観測出力値である。

さらに、式(3)において、 $D_{11} = 0, D_{12} = 0$ である場合の解は、Petersonによって求められており、結果だけを示すと、十分小さな正数ε>0に対し、次式のリッカチ方程式が正定解Pをもつことより、

$$A^T P + PA + \frac{1}{\gamma^2} PB_1 B_1^T P - \frac{1}{\epsilon} PB_2 B_2^T P + C_1^T C_1 + \epsilon I = 0 \tag{4}$$

ただし、本報告では、 $A = \begin{pmatrix} 0 & I \\ -M^{-1}K & -M^{-1}C \end{pmatrix}$ ,  $B_1 = \begin{pmatrix} 0 \\ 1 \end{pmatrix}$ ,  $B_2 = \begin{pmatrix} 0 \\ M^{-1}U \end{pmatrix}$ である。

状態フィードバックゲインFおよび制御力uは、次式となる。

$$F = -\frac{1}{2\epsilon} B_2^T P, \quad u = Fx \tag{5}$$

(2) LQ制御 次式で示される2次形式の評価関数を最小にするようにフィードバックゲインを求める。

$$J = \int_0^{\infty} (x^T Q x + Ru^2) dt \tag{6} \quad \text{ただし、} Q = \begin{pmatrix} I & 0 \\ 0 & I \end{pmatrix}$$

この場合の状態フィードバックゲインF'および制御力uは、次式となる。

$$F' = -R^{-1} B_2^T P, \quad u = F'x \tag{7}$$

ただし、Pは、リッカチ方程式  $A^T P + PA - PB_2 R^{-1} B_2^T P + Q = 0$ の解である。

3. 数値計算例 対象としたモデルは、図1および表1に示すような3自由度系モデルであり、著者らが振動実験模型として使用している程度のものである。AMDのアクチュエータは、小型のサーボモータ(60W)で、

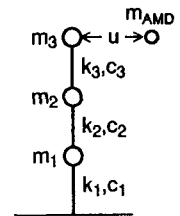


図1 解析モデル

表1 構造パラメータ

質量	$m_1 = m_2 = m_3 = 30\text{kg}$
減衰	$c_1 = c_2 = c_3 = 244880\text{N/m}$
剛性	$k_1 = k_2 = k_3 = 60.05\text{N} \cdot \text{s/m}$

質量 ( $m_{AMD}$ ) = 2 kgの補助質量 (質量比=約2%) に対し、最大制御力が12.8N程度である。以下の結果は、この最大制御力も考慮して、入力地震動にエルセントロ波形 (最大加速度1 m/s) を用い、試行的に計算した結果より、 $H^\infty$  制御では、 $\gamma=5, e=0.0001$ 、LQ制御では、 $R=0.0003$ とした。図2～図4は、それぞれ質量、減衰、剛性のマトリックスに、次式のように係数を掛けて誤差を与えて、フィードバックゲインを計算して、制御シミュレーションを行ったときの、 $m_3$ の最大応答値と最大制御力値を示したものである。

$$M \leftarrow C_M \times M, \quad C \leftarrow C_C \times C, \quad K \leftarrow C_K \times K \quad (8)$$

その結果、 $H^\infty$  制御、LQ制御ともに、質量および剛性の誤差による影響は、ほとんど無いが、減衰の誤差に対しては、減衰を大きくするにつれ、各最大応答値とも大きくなり、最大制御力は小さくなる傾向となった。また、この場合、最大応答値に対しては、 $H^\infty$  制御、LQ制御の差はほとんど無いが、最大制御力に対しては、若干、LQ制御よりも $H^\infty$  制御の方が影響が少なくなっている。

4. おわりに 質量、減衰、剛性に誤差を与えてシミュレーションを行った結果、状態フィードバックの $H^\infty$  制御においても、減衰の誤差による影響が若干あることが明かとなった。特に、制御力に及ぼす影響は、アクチュエータの性能にかかわる問題であり、注意すべき点のひとつであると思われる。しかしながら、今回の結果は、 $D_{11}=0, D_{12}=0$ の場合の基礎的な $H^\infty$  制御理論を用いた適用例であり、制震システムの開発のためには、さらに検討が必要であると思われる。

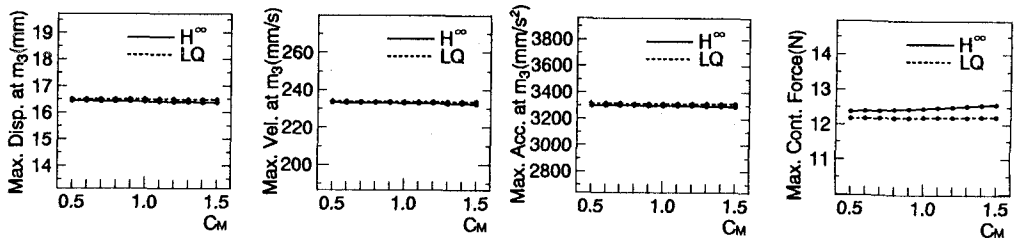


図2 質量の誤差が最大応答値 (質点3) と制御力に及ぼす影響

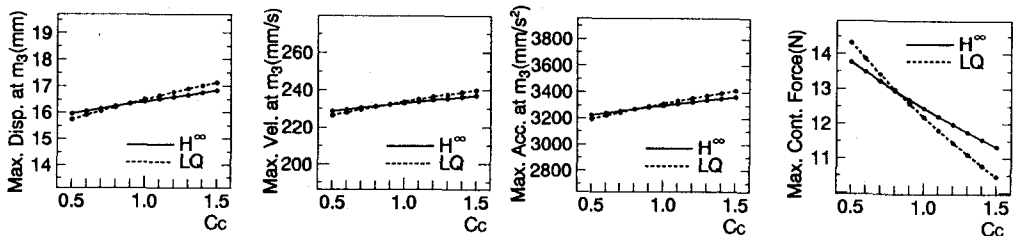


図3 減衰係数の誤差が最大応答値 (質点3) と制御力に及ぼす影響

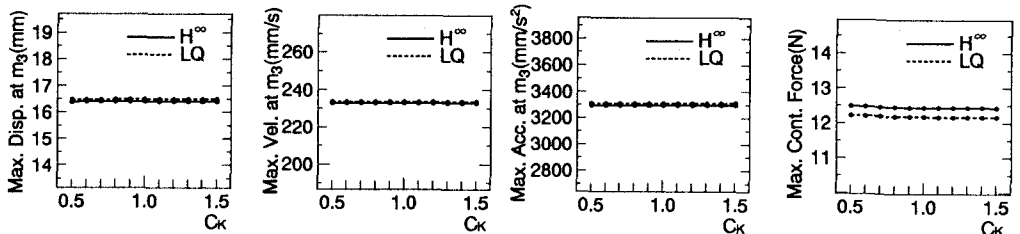


図4 剛性の誤差が最大応答値 (質点3) と制御力に及ぼす影響

参考文献 1) 山口, 野田, 丸山, 藤野, 玉木: 構造物のアクティブ制御入門-LQ制御から $H^\infty$ 制御理論へ, 第2回振動制御コロキウムPART A, pp.235-273, 1993年8月

2) 三平, 美多: 状態空間論による $H^\infty$ 制御の解法, 計測と制御, pp.19-25, 1990年2月